

Рассмотрены вопросы моделирования электрического поля в трехмерном пространстве для трехжильных кабелей с металлической оболочкой напряжением 10 кВ. С целью уменьшения максимальной напряженности электрического поля в кабельных заделках предлагается использовать выравнивающий конус. Для оптимизации размеров выравнивающего конуса использованы методы планирования эксперимента и нелинейного программирования.

Опыт эксплуатации кабельных линий показывает, что электрическая прочность кабельной арматуры ниже прочности самих кабелей. К кабельной арматуре относят кабельные заделки и соединительные муфты. Заделки предназначены для соединения кабельной линии с электрическими аппаратами и электроустановками.

При разделке кабеля часть его оболочки (или экрана в случае экранированного кабеля) удаляют, что приводит к искажению силовых линий в геометрии кабеля и увеличению напряженности электрического поля (НЭП) в месте среза оболочки, которые проявляются в трех измерениях. Для уменьшения НЭП электрического поля в месте среза оболочки существует несколько методов. Наиболее простой из них разбортовка свинцовой (алюминевой) оболочки. Однако из-за неравномерности толщины металлической оболочки по диаметру, которая может привести к ее разрыву по краю, и из-за недостаточной величины радиуса отгибания, не всегда удается снизить НЭП до желаемых пределов.

Другим методом является применение полупроводящих покрытий по поверхности разряда между жилой и оболочкой кабеля. Снижение НЭП в месте обреза оболочки с применением полупроводящего покрытия связано с тем, что это покрытие предопределяет большие потери электрической энергии, что может привести к электротепловому пробое изоляции [1].

Наиболее распространенным способом снижения НЭП у обреза оболочки кабеля является продолжение металлизации до большего диаметра, т.е. использование выравнивающего конуса (ВК). Соответствующим профилированием экрана и применением различных изолирующих материалов мож-

но достичь равномерного распределения силовых линий электрического поля в кабельной заделке.

Электрическое поле в изоляции кабельной арматуры существенно отличается от поля в изоляции кабеля, где действует только его радиальная составляющая. В кабельной арматуре наряду с радиальной составляющей электрического поля действует тангенциальная составляющая. Регулирование радиальной составляющей цилиндрического поля в изоляции кабеля и кабельной арматуры, как правило, не вызывает трудностей. Регулирование тангенциальной составляющей является одной из основных проблем при конструировании кабельной арматуры.

Распределение НЭП в кабельной арматуре определить точным аналитическим расчетом невозможно, но эту задачу можно решить, применяя натурное моделирование или различные численные методы. Натурное моделирование имеет ряд существенных недостатков, описанных в [2]. С появлением современных ПЭВМ стало возможным решение подобных задач с использованием численных методов расчета. Для моделирования электромагнитных полей зачастую применяют метод конечных элементов. Одна из реализаций этого метода стала возможной с появлением программы FEM-LAB, предназначенной для решения широкого круга задач, формулируемых системами уравнений с частными производными. Особенностью программы является возможность решения трехмерных задач применительно к расчету электрических полей.

В системе FEMLAB дифференциальные уравнения в частных производных решаются проекционным методом Галёркина с конечными элементами [3]. Этот метод является одним из частных слу-

чаев методов взвешенных невязок. Сущность этого метода заключается в том, что весовые функции равны функциям формы, с помощью которых реализуется конечно-элементная интерполяция.

Моделирование в программе FEMLAB электрического поля нами проводилось с использованием уравнения Лапласа. Электрический потенциал φ в любой точке поверхности может быть вычислен с помощью уравнения Лапласа в частных производных:

$$\operatorname{div}(\varepsilon \operatorname{grad} \varphi) = 0$$

при заданных граничных условиях:

а) первого рода (условие Дирихле):

$$\varphi|_{\Gamma} = f_1,$$

где ε – диэлектрическая проницаемость, φ – потенциал электрического поля, Γ – граница поля, f_1 – функция распределения потенциала на границе Γ ;

б) второго рода (условие Неймана):

$$\frac{\partial \varphi}{\partial n}|_{\Gamma} = f_2,$$

где n – внешняя нормаль к границе поля Γ , f_2 – функция распределения нормальной производной потенциала на границе Γ .

Граничные условия Дирихле были приняты на границе раздела сред: проводящий экран-диэлектрик, жила кабеля-диэлектрик. На границе раздела сред диэлектрик-диэлектрик были приняты нулевые граничные условия Неймана.

Поскольку НЭП электрического поля состоит из суммы радиальной и тангенциальной составляющих, то и расчет необходимо проводить в трехмерном пространстве [4]. Кроме того, необходимость моделирования распределения электрического поля в трехмерном пространстве кабельной разделки вызвана расположением жил кабеля в пространстве (под углом 120°), а также их влиянием на распределение этого поля. Ранее моделирование поля в трехмерном пространстве трехжильных кабельных разделок проводилось только на сеточных моделях, состоящих из дискретных сопротивлений [2]. Недостатками такого моделирования являются: низкая точность полученных результатов, большая трудоемкость, затраты при изготовлении и переналадке модели.

Результаты моделирования электрического поля в разделке трехжильного кабеля с помощью программы FEMLAB приведены на рис. 1. Расчет максимальной НЭП проводился для наихудшего случая, адекватного воздействию трехфазного переменного напряжения в момент времени $t = \pi/2$. Граничные условия на участках раздела сред были приняты такими же, как и на аналогичных участках в случае моделирования одножильного кабеля. Полученная картина распределения НЭП позволяет выявить слабые места в кабельных разделках. Наибольшая концентрация силовых линий поля находится на срезе оболочки (экрана); несколько меньше НЭП в месте изгиба жил. Из-за локальных концентраций НЭП в этих местах может наступить

пробой изоляции кабеля, что подтверждается статистическими данными о причинах электрического пробоя в шейке кабельной заделки. Исходя из полученного распределения электрического поля в трехжильной кабельной разделке, видно, что силовые линии поля распределены неравномерно. Задачу выравнивания электрического поля трехжильного кабеля, как и одножильного, можно решить с помощью ВК.

Характеристикой ВК являются его геометрические размеры: длина конуса X_1 , основание ступени образующей конуса X_2 , радиус скругления конуса X_3 , расстояние от конуса до изгиба жил кабеля X_4 (рис. 2). Функция, описывающая форму образующей конуса ($f = X_2^2$), была выбрана по соображениям, изложенным в [5].

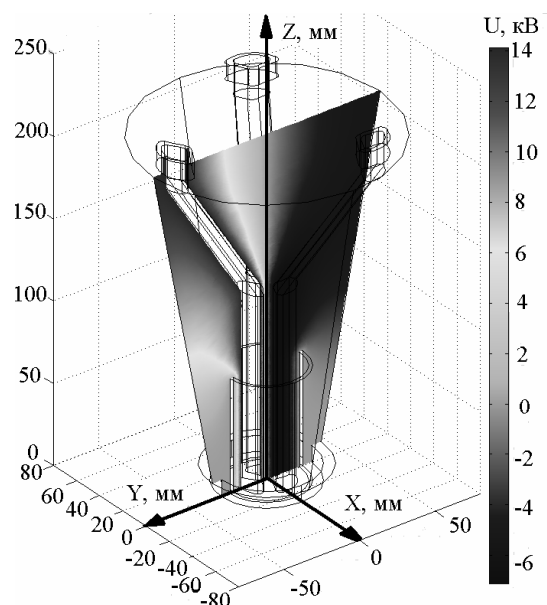


Рис. 1. Распределение поля потенциалов трехжильного кабеля при моделировании в трехмерном пространстве

Для определения оптимальной конструкции ВК, вначале получили уравнение регрессии, описывающее зависимость максимального значения НЭП в заделке от геометрических размеров ВК. Для определения формы и коэффициентов уравнения регрессии, использовался метод оптимального планирования математического эксперимента, изложенный в [6].

Поскольку целью данного исследования был анализ параметрической чувствительности НЭП от геометрических размеров ВК, то в качестве плана эксперимента был выбран ортогональный план второго порядка, обеспечивающий равенство нулю всех ковариаций между коэффициентами в уравнении регрессии и позволяющий выбрать один расчет в центре плана.

Координаты центра плана, интервалы варьирования и уровни исследования приведены в табл. 1.

Значимость коэффициентов уравнений регрессии оценена по критерию Стьюдента [6]. После отсева незначимых коэффициентов, зависимость

максимальной НЭП в заделке от геометрических размеров ВК имеет вид:

$$E = 2414,5 - 46X_1 - 374,8X_2 - 96X_3 + 38,2X_1X_2 + 69,6X_2X_3 + 10,4X_3X_4 - 9,8X_2X_3X_4 + 49,2X_1^2 + 244,2X_2^2 + 151,4X_3^2 + 10,7X_4^2.$$

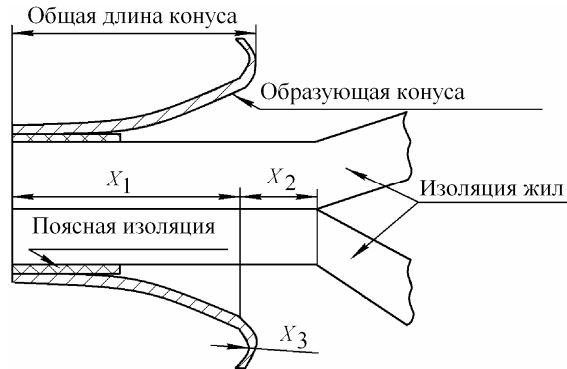


Рис. 2. Часть разделки трехжильного кабеля с использованием выравнивающего конуса

Таблица 1. Координаты центра плана, интервалы варьирования и уровни исследования

| Уровень исследования | Длина конуса X_1 , мм | Основание степени X_2 | Радиус скругления конуса X_3 , мм | Расстояние от конуса до изгиба жил кабеля X_4 , мм |
|---------------------------------|-------------------------|-------------------------|-------------------------------------|--|
| Нижний уровень звездного плеча | 35,0 | 1,00 | 2,0 | 5,0 |
| Нижний уровень | 40,0 | 1,01 | 2,5 | 10,0 |
| Центр плана | 52,5 | 1,03 | 4,0 | 22,5 |
| Верхний уровень | 65,0 | 1,05 | 5,5 | 35,0 |
| Верхний уровень звездного плеча | 70,0 | 1,06 | 6,0 | 40,0 |
| Интервал варьирования | 12,5 | 0,02 | 1,5 | 12,5 |

Проверка уравнения регрессии по критерию Фишера показало его адекватность экспериментальным значениям. По уравнению регрессии был проведен анализ параметрической чувствительности. В качестве примера на рис. 3, 4 приведены характерные зависимости НЭП от длины конуса и радиуса скругления конуса, а также от основания степени образующей конуса и радиуса скругления конуса. Рисунки приведены для факторов в кодированном виде (в относительных единицах) для центра плана.

НЭП обладает высокой параметрической чувствительностью от длины конуса, основания степени образующей конуса, радиуса скругления конуса и низкой чувствительностью расстояния от конуса до изгиба жил кабеля, и ее зависимость от геометрических размеров конуса носит экстремальный характер.

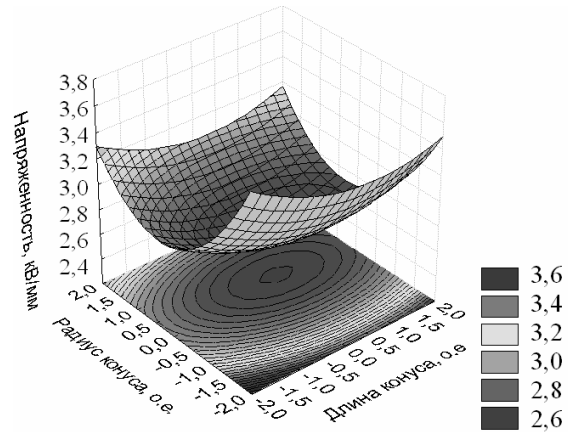


Рис. 3. Зависимость напряженности от длины конуса и радиуса скругления конуса

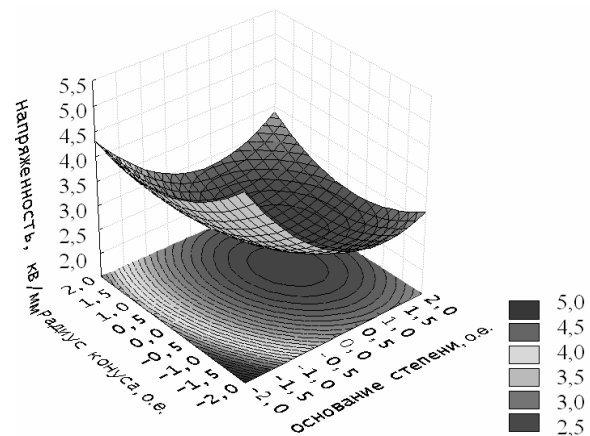


Рис. 4. Зависимость напряженности от основания степени образующей конуса и радиуса скругления конуса

На основе проведенной формализации проблемы отыскания наиболее оптимальной конструкции можно сформулировать в виде следующей математической задачи: найти вектор-геометрические размеры $X=(X_1, X_2, X_3, X_4)$, удовлетворяющие системе ограничений по минимальным и максимальным размерам, и доставляющей целевой функции минимальное значение. В качестве целевой функции берем полученное уравнение регрессии.

Нахождение оптимальных параметров ВК проводилось в программе Matlab 6.02, позволяющей решать оптимизационные задачи большой сложности на ПЭВМ с использованием оптимизационных функций, решающих оптимизационные задачи различными градиентными методами.

В результате решения задачи оптимизации методом нелинейного программирования получено, что в изученном диапазоне изменения факторов наименьшая НЭП достигается при размерах ВК, приведенных в табл. 2.

При данных размерах ВК максимальная НЭП составила 2,266 кВ/мм, что ниже НЭП без ВК, равной 3,817 кВ/мм, (что составляет разницу в 40,6 %) и меньше чем в заделке, смоделированной по размерам, приведенным в [7], на 7 %.

Таблица 2. Результаты оптимизации конструкции выравнивающего конуса

| Размеры ВК | Длина конуса X_1 | Основание степени X_2 | Радиус скругления конуса X_3 | Расстояние от конуса до изгиба жил кабеля X_4 | Общая длина конуса |
|--------------------------|--------------------|-------------------------|--------------------------------|---|--------------------|
| В относительных единицах | 0,18 | 0,732 | 0,15 | -0,02 | — |
| В натуральном виде | 125,00 мм | 1,048 | 4,20 мм | 22,00 мм | 129,20 мм |

По результатам расчетов были проведены эксперименты: на пяти коротких отрезках кабеля ААБ 3×240, были смонтированы кабельные заделки, с одной стороны типа КВЭ10, а с другой стороны – с применением ВК, где в качестве изоляции был использован эпоксидный компаунд Э-2200. Испытания заделок на электрическую прочность производились постоянным и переменным напряжением с помощью установки АИИ-70. Испытательное напряжение плавно поднималось от 0 до пробивного напряжения или до предельного значения 110 кВ. Если при предельном значении пробой не возникал, то кабель выдерживался под напряжением до 30 мин. В результате испытаний были пробиты четыре заделки КВЭ10, а заделки с ВК выдержали испытание.

СПИСОК ЛИТЕРАТУРЫ

1. Ныркoв Е.С. Расчет пробивной прочности соединительных муфт высоковольтного кабеля с вязкой пропиткой. — Дис. ... канд. техн. наук. — М., 1957. — 249 с.
2. Демирчян К.С. Моделирование магнитных полей. — Л.: Энергия, 1974. — 288 с.
3. Михайлов В.П. Дифференциальные уравнения в частных производных. — М.: Наука, 1976. — 392 с.
4. Лебедев Г.М., Мешков Д.М. Моделирование электрического поля в кабельной заделке 6–10 кВ // Технология и техника пищевых производств. — Кемерово, 2004. — С. 234–238.

Выводы

1. Проведено моделирование разделки трехфазного кабеля в трехмерном пространстве методом конечных разностей, которое выявило значительную неравномерность распределения НЭП в месте среза металлической оболочки кабеля.
2. С целью выравнивания неравномерного электрического поля в месте среза оболочки кабеля предложено использование выравнивающего конуса. Для получения оптимальных размеров выравнивающего конуса были использованы методы оптимального планирования экспериментов и нелинейного программирования.
5. Бумажно-маслянная изоляция в высоковольтных конструкциях / М.А. Грейсух, Г.С. Кучинский, Д.А. Каплан, Г.Т. Мессерман. — М.: Госэнергоиздат, 1963. — 300 с.
6. Ахназарова С.Л., Кафаров В.В. Методы оптимизации эксперимента в химической технологии: Учебн. пособие для хим.-технол. спец. вузов. — 2-е изд., перераб. и доп. — М.: Высшая школа, 1985. — 327 с.
7. Берман В.И., Феськов Е.М., Юркевич В.М. Измерение распределений напряженности электрического поля в кабельной муфте // Электротехника. — 1998. — № 5. — С. 25–29.